

多地点・時間単位のモデル降雨とそのミシーレーション

鹿島大学大学院 学生員 ○一葉 麻
鹿島大学工学部 正員 端野 道夫

1. まえがき

流域の水資源、あるいは高水解剖を考える場合、流域降雨の空間的時間的特性はきわめて重要であり、観測資料の不十分さを補う目的で、種々のモデルが提案され、一定の成果を得ている。

多地点・時間単位のモデル降雨についてはまだ議論の余地がある。本論文では、信頼できる最も長期間の観測資料である日雨量を基本とし、時間単位モデル降雨の設定とそのミシーレーションについて考察する。適用例は青野川上流域である。

2. 日単位のモデル降雨とそのミシーレーション

多地点観測所群の中で、長期の信頼できる観測資料が存在する観測所(Base station)と他の観測所(Normal station)とに区別しておどりについて考えた。

A. Base station (B.S.)

日単位モデル降雨についてはいくつかの手法が提案されており、ここでは端野・栗田¹⁾の方法を用いることにする。B.S.における降雨を決定する要素として降雨生起特性(降雨日数分布、間隔日数分布)と、降雨強度特性(日雨量分布)であるとしたこれらは互いに独立であると仮定する。上記の二つの分布形が同一母集団とみなせば一定期間(r 日)における降雨が生起する確率と定めると、始めに i 日目に降雨が発生する確率 $K_{r,i}$ は、定めた一定期間以前の最後の降雨より一定限界値($n-r-1$)までの間隔日数分布に従うものとして、

$$K_r = \frac{\sum_{i=1}^{n-r} H_{i,r}}{\sum_{i=1}^n H_{i,r}} \quad (2.1)$$

ここで $H_{i,r}$ は i 日降雨があり、 $i+1$ 日間隔で次の降雨が発生する頻度である。

$$\text{統計} i \text{ 日目に降雨が発生する確率は } K_{j_1,r}^{(i)} = H_{j_1,r} / \sum_{i=1}^{n-r} H_{i,r} \quad (2.2)$$

ここで $j_1 = i_1 - i_1 - 1$ である。 i_1 にて i 日降雨があり、それが i_1, i_2, \dots, i_n 日に発生する確率は

$$G_r \cdot K_r \cdot \prod_{k=i_1}^{i_2} K_{j_k,r} \quad (k = i_k - i_{k-1} + 1) \quad (2.3)$$

また、日雨量分布を $F_w(x) = 1 - e^{-x/(x+b)}$ あるいは $F_w(x) = 1 - \{(x+b)/(n+b)\}^n$ で示すことにすると、 i 日の降雨が x_1, x_2, \dots, x_r の強度が発生する確率は

$$G_r \cdot \prod_{k=i_1}^{i_2} k_{j_k,r}^{(i)} \cdot \left(\prod_{k=i_1}^{i_2} F_w(x_k) \right) \quad (\because F_w(x_k) = \int_{x_k - \frac{1}{2} \sigma_x}^{x_k + \frac{1}{2} \sigma_x} f_w(x) dx) \quad (2.4)$$

B. Normal station (N.S.)

N.S.においては資料が少ないことと前提としているのでB.S.のようなモデル降雨を作るることは得策ではない。同一流域内においては、N.S.とB.S.との同時点での降雨が重要な意味を持つ。N.S.でのモデル降雨は、B.S.のそれとの相互関係で導いた方がよいだろ。

まず生起日としてはB.S.とN.S.での降雨、無降雨日の状態確率²⁾とすることにより降雨生起日を定める。たとえば、Table-1に本山、地蔵寺両観測所地点の状態確率を示す。

降雨生起日が定まればB.S.での日雨量 X より次式のように回帰モデルでもって、N.S.での日雨量 Y を定めることが出来る。

$$Y = A_1 X + B_2 + \varepsilon \quad (2.5)$$

		N.S.		地蔵寺	
		B.S.		降雨日	無降雨日
本山	降雨日	0.0820	0.1820	0.0785	0.1615
	無降雨日	0.0785	0.1615		

ここで A_1, A_2 は定数, ϵ は残差系列の標準偏差, ε は正規乱数である。

しかし、B.S. の降雨がりである時は回帰モデルを使はずしてため強度は N.S. の強度分布より発生する。

3. 時間単位のモデルとそのミシーリング

降雨日の時間降雨特性として、総降雨時間、継続時間、時間強度について考える。

A. B.S. のモデル降雨とそのミシーリング

i) 降雨時間: T , 1日の総降雨時間 T と日雨量強度 X の関係を Fig-1 で示すように、特定の日雨量 X に対して T は上限、下限の間にまたたく間に分布している。このことよりその間で一様乱数を発生させることにより降雨時間 T を定める。

ii) 繰続降雨: T^* , T^* 時間降雨が連続している時、それを T^* 時間連續降雨とする。そして T^* と日総降雨時間 T の比 T^*/T を相対時間連續雨とし、その非超過確率を $P(T^*/T)$ とすると、Fig-2 のようになり、一様乱数を発生させることにより連續降雨 T^* が求まる。これと $\Sigma T_i < T$ を越すまでくり返す。ただし越した場合は最後の値でも、 $\Sigma T_i = T$ にはさるように訂正する。

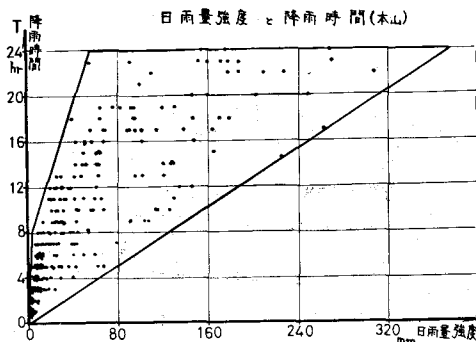


Fig-1

iii) 繰続降雨到達時刻: t , 繰続降雨 $T^* = T_1^* + \dots + T_n^*$ ($T = \Sigma T_i$) である時、各々の連続降雨の到達時刻は発生有効日内ではまったく一様であるとする。

日総降雨時間 $T=1$ である時は当然連続降雨時間 $T^*=1$ となる。到達時刻がもじある確率は、24時間の間でいざれでも良いのだから $1/24$ となる。日総降雨時間 $T=2$ であり、また $T_1^*=1, T_2^*=1$ でそれ以外の到達時刻が t_1, t_2 であるとする、まず24時間の中で2時間の降雨があり、またその二つの降雨は連続していないので1時間以上の間隔を必要とするところにする。さて T_1^* もたらす確率は $1/22$ であり次に T_2^* もたらす確率は $1/23-t_1$ である。

一般に、降雨時間 T (≥ 3) で $T^* = T_1^*, T_2^*, \dots, T_n^*$ であり、各々の連続降雨群の到達時刻 t_1, t_2, \dots, t_n すると T^* の連続降雨が t_j 時刻に到達する確率は

$$1 / [(24-t_{j-1}) - (n-j) - (T - \sum_{i=1}^{j-1} T_i^*)] \quad (3-1)$$

であるが、逆に有効生起時間は $\{(24-t_{j-1}) - (n-j) - (T - \sum_{i=1}^{j-1} T_i^*)\}$ であることより、ミシーリングはこの有効生起時間に一様乱数を用いて連続降雨の到達時刻を決めることができる。

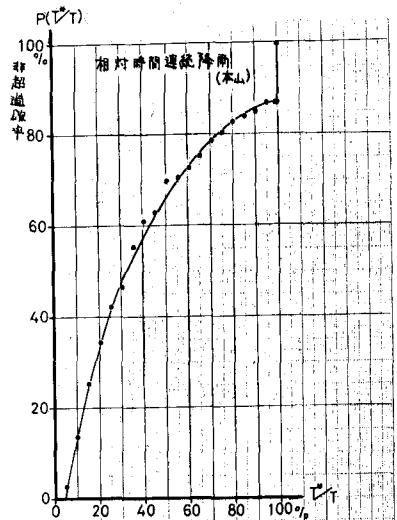


Fig-2

iv) 強度: λ , 大時刻における強度 λ は連続降雨に対して自己相関が存在するとして

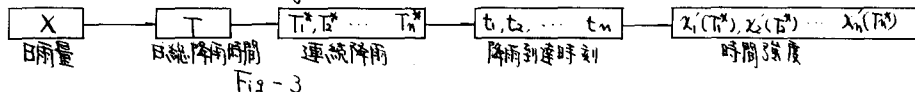
$$X_t^* = P X_{t-1}^* + \epsilon \sqrt{1-P^2} \quad (3-2)$$

であることを示す。ただし X_t^* は正規分布を行なうと仮定し,

P のはそれぞれ X_t^* の自己相関係数、および標準偏差である。また ϵ のは P のは降雨強度がとる値とするものとし、日強度を段階的に分類して値を求める。Table-2に本山地点での P , ϵ の値を示す。

v) ミュレーショナル法

以上をまとめてフローチャートであると Fig-3 のようになる。



ここで λ_t は補正を行なう以前の値を示し、 $\lambda_t(T_i^*)$ は X_t^* 以下の時間間隔と持つことを示している。

このようにしてミュレーショナル法 $\lambda_t(T_i^*)$ を求めるが、本来 $X_t = \sum \lambda_t(T_i^*)$

となるわけにはいけないが、この式から λ_t を補正係数としても、て補正を行う。

$$\mu = X / \sum \lambda_t' \quad (3-3) \quad , \quad \lambda_t = \mu \lambda_t' \quad (3-4)$$

B. N.R でのミュレーショナル法

N.R. での時間間隔は B.R. のそれとの相互相関があるとして、また N.R. での自己相関も考慮して R のよき回帰モデルを用いる。

$$y_t' = A_2 X_t + B_2 y_{t-1}' + C_2 + \epsilon \eta \quad (3-5)$$

ここで y_t' は補正を行なう以前の値、 A_2, B_2, C_2 は定数、 ϵ は正規乱数、 η は残差系列の標準偏差である。

またここで日雨量 Y_t とミュレーショナル時間雨量 y_t' が等しくなければならぬのが補正係数 β

$$\beta = (Y - \sum y_t') / \sum y_{t-1}' = (Y - \sum y_t) / \sum y_t \quad (3-6)$$

を用いて

$$y_t = y_t' + \beta y_{t-1}' \quad (3-7)$$

で補正を行う。すなはち補正された時間雨量 y_t は次式のようになる。

$$y_t = A_2 X_t + (B + \beta) y_{t-1}' + C_2 + \epsilon \eta \quad (3-8)$$

4. 対応例と考察

本論文で適用したのは音野川上流域の本山(B.R.)、地蔵寺(N.R.)で行なった。この2箇所間の距離は約10kmであり、日雨量資料として本山76年、地蔵寺58年間があり、時間雨量資料としては本山、地蔵寺共に約10年間の豪雨率のみである。

日雨量ミュレーショナル結果として月最大日雨量の非超過確率と Fig-4 に実測値と共に示す。

また時間雨量のミュレーショナル結果として月最大時間雨量の非超過確率と Fig-4 に実測値と共に示す。

日数分布、間隔日数分布は B.R., N.R. まではほぼ実測値に近い傾向に有り、しかし Fig-4 で示されていけるように月最大日雨量は B.R. と N.R. では B.R. が少しあり食いついていると思われるが、N.R. と N.R. には良い結果でない。これは B.R. が対数正規分布 A 型分布しているのに、N.R. が Gumbel 分布と互いに異なった分布型に対して、本文中に示した一年の回帰式でも、て補間を行なう、たゞこれ問題があると思われる。このことは月総雨量分布に関するても同様な結果が生じた。

そのため今後の修正としては、分布型の異なる地点での補間を開拓しては、どちらも同じ正規分布

Table-2. 強度別による P, ϵ

X	P	ϵ
$X > 120$	0.6495	0.6357
$120 \geq X > 60$	0.4180	0.3967
$60 \geq X > 30$	0.2463	0.2360
$30 \geq X$	0.1265	0.1559

型に変換して使うよ、(回帰式やさ)であろうと思われる。

また時間ミシーミニードみでは、Fig-4と示されているように最も重要な日最大時間雨量が平均的下限超過率より小さくでいい。これはモデル降雨の把握において、B.sでの時間雨と到達降雨時より順次進行して行くために、平均的な値が小さくですか、そのためだと考えられる。

(もし、そのため日降雨量と時間最大雨量との強な関係にあることが認められたので、今後は、この時間強度を基準としてモデルの把握を試みます)。

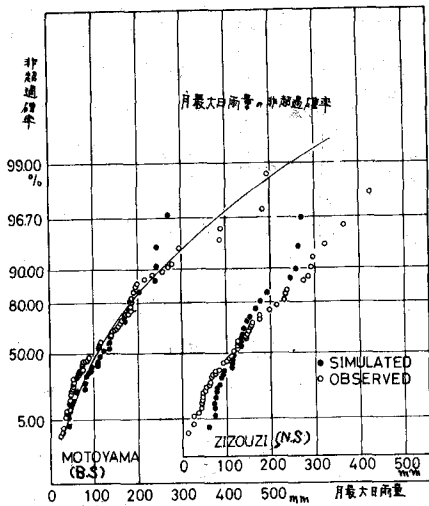


Fig-4

参考文献

- 1) 宮田、端野：土砂輸送に関するモデル降雨の検定について
昭和43年度 土木学会関西支部年次学術講演会講演概要
- 2) 石原、池田：日降雨水の空間的、時間的確率構造とそのミシーミニードに関する研究
土木学会論文報告集 第147号
- 3) 角屋、大森、福島：日雨量系列の擾乱発生と内水排除計画への適用
土木学会第24回年次学術講演会講演概要

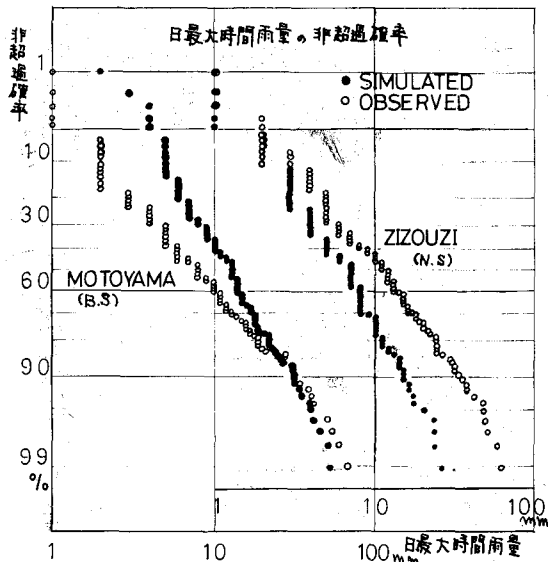


Fig-5